

УДК 519.677:629.914.3-529

АВТОМАТИЗАЦИЯ РАСЧЕТА УПРАВЛЯЮЩИХ ПРОГРАММ
ДЛЯ ОБРАБОТКИ РАБОЧИХ КОЛЕС ЦИРКУЛЯЦИОННЫХ
НАСОСОВ НА ПЯТИКООРДИНАТНОМ СТАНКЕ С ЧПУ

Н.Н. Павлов, В.А. Скороспелов

Расчет управляющих программ является основной проблемой, которая возникает при использовании многокоординатных станков с ЧПУ для обработки различных изделий. Совершенно очевидно, что рассчитать несколько тысяч точек траектории и представить их в виде управляющих кодов на перфоленте, не прибегая к помощи ЭВМ, невозможно. Однако привлечение ЭВМ для решения этой проблемы требует специально-го программного обеспечения, разработка которого включает:

- выбор метода математического моделирования изделия;
- разработку алгоритмов численного решения разнообразных задач геометрии;

- определение способа общения с программным обеспечением.

В [1] представлена автоматизированная система, созданная в Институте математики СО АН СССР для выполнения геометрических расчетов в различных научно-технических проблемах. Систему можно считать универсальной в том смысле, что она может быть адаптирована к конкретной предметной области. Так, например, она успешно применена для решения задач проектирования и подготовки производства лопастей гидротурбин, для изготовления технологической оснастки в авиастроении.

В настоящей статье описывается методика расчета управляющих программ для обработки рабочих колес циркуляционных насосов на пятикоординатном станке с ЧПУ, которая также реализована в рамках этой системы. Основная идея предлагаемой методики состоит в том, что на этапе конструирования создается математическая модель колеса, которая используется при проведении всех расчетов, связанных с получением управляющих программ. Математическая модель колеса - не-

который сплайн, принятый в качестве стандартной формы представления поверхностей в системе (см. [I, раздел I]).

Применение методики на практике обеспечивает высокую степень автоматизации проектирования и изготовления изделий этого класса.

I. Построение математической модели колеса

Общий вид колеса изображен на рис. I. Под его математической моделью будем понимать поверхности основных элементов конструкции колеса – ступицы и лопасти, представленные в стандартной форме, о которой было сказано выше. Как следует из [I], для того чтобы поверхность представить в стандартной форме, достаточно определить на ней каркас, образованный совокупностью некоторых линий [5]. Таким образом, задача о построении математической модели колеса сводится к расчету каркасов поверхностей его элементов.

Связем с колесом прямоугольную систему координат ($Oxyz$), направив ось z по оси вращения колеса в сторону нагнетания. Поверхность ступицы есть поверхность вращения. Если $z = z(u)$, $u = z(u)$, $u \in [0, 1]$ – уравнение ее образующей, то уравнение самой поверхности имеет вид:

$$x = z(u) \cos(2\pi u), \quad y = z(u) \sin(2\pi u), \quad z = z(u), \quad u \in [0, 1].$$

Пусть ϵ – погрешность производимых расчетов. Разобъем область изменения параметров u и v так, чтобы шаг разбиения удовлетворял условию:

$$\Delta u \leq 4\sqrt{\frac{\epsilon}{k_{max} s}}, \quad \Delta v \leq \sqrt{\frac{\epsilon}{2\pi z_{max}}},$$

где k_{max} – максимальная кривизна образующей, s – длина дуги образующей, $z_{max} = \max_{u \in [0, 1]} z(u)$. Совокупность линий на поверхности ступицы, соответствующая этому разбиению, принимается в качестве искомого каркаса.

Способ образования поверхности лопасти, применяемый в практике проектирования колес, состоит в формулировании закона преобразования теоретического профиля в цилиндрические сечения лопасти (сечения круговыми цилиндрами, соосными с колесом). Параметрами этого преобразования являются (рис. 2): R – радиус цилиндрического сечения, ℓ – длина хорды развертки цилиндрического сечения, β – угол наклона хорды, R^* – радиус дужки развертки, A – абсцис-

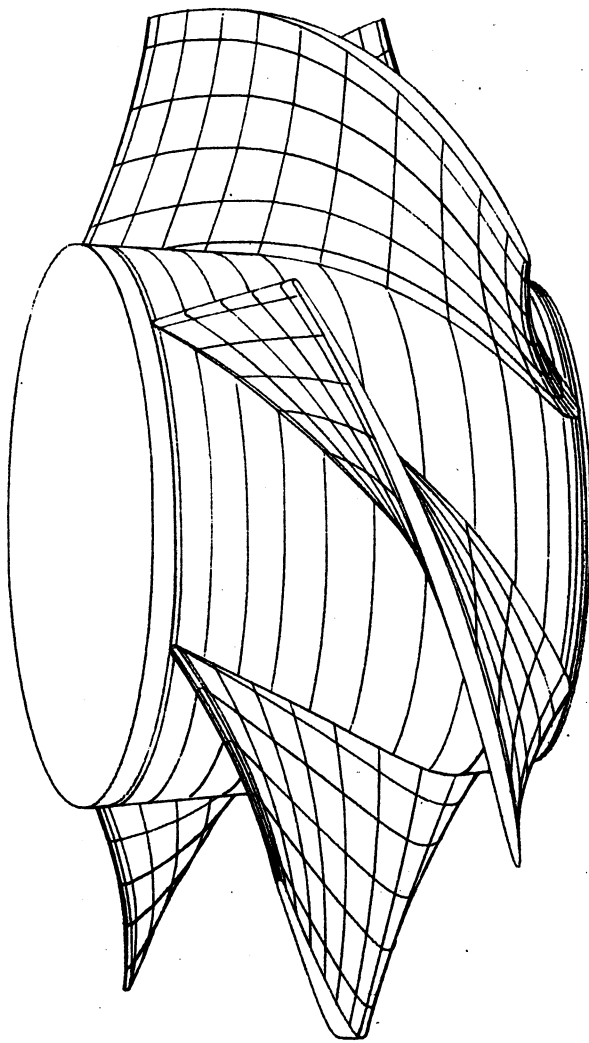


Рис. I. Общий вид колеса.

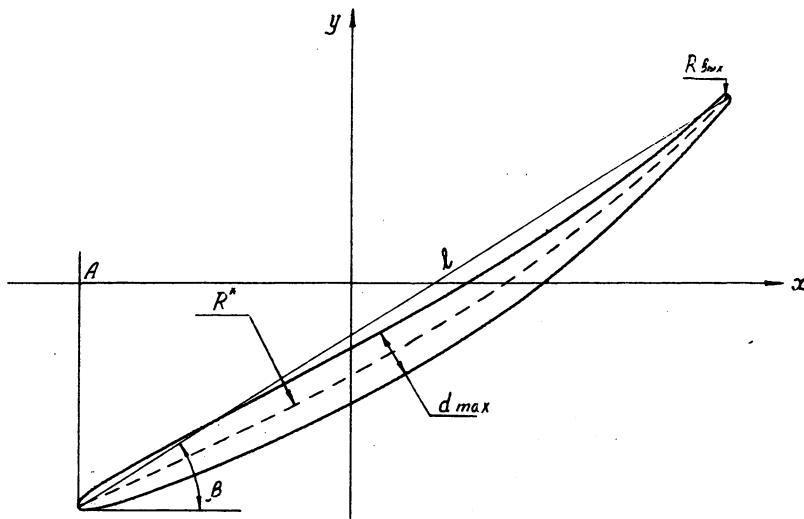


Рис. 2

са начальной точки хорды развертки, d_{max} - максимальная толщина развертки, R_{exit} - радиус окружности выходной кромки. Величины ℓ , R^* , d_{max} , R_{exit} задают деформацию теоретического профиля, а R , ℓ , β , A - его положение в пространстве.

Эти параметры, рассматриваемые как непрерывные дифференцируемые функции от R , вместе с уравнением дуги профиля $\vec{\varepsilon} = \vec{\varepsilon}(t)$, $t \in [0,1]$, где $\vec{\varepsilon} = (x, y)$ - радиус-вектор точки, представляют параметрическое уравнение поверхности лопасти. В качестве каркаса этой поверхности принимается совокупность параметрических линий $t_i = const$, $R_j = const$, $j = \overline{1, M}$, $i = \overline{1, N}$.

Рассмотрим более подробно процесс расчета каркаса поверхности лопасти. В качестве исходных данных принимаются:

- теоретический профиль, заданный таблицей координат его точек;
- таблица значений параметров $P = \{R_j, \ell_j, \beta_j, R_j^*, A_j, d_{maxj}, R_{exitj}\}$, $j \in \overline{1, M}$.

Сначала определяется уравнение теоретического профиля в виде кубического параметрического сплайна $\bar{s} = \bar{s}(t) = [s_x(t), s_y(t)]$, $t \in [0, 1]$, определенного на сетке $\Delta: 0 = t_1 < t_2 < \dots < t_N = 1$ и аппроксимирующего исходную таблицу. Используемый здесь метод сплайн-аппроксимации описан в [2]-[3]. Следует отметить, что такой подход позволяет не только получить уравнение дуги профиля, но и выполнить сглаживание исходных точек, если это необходимо. Результат сплайн-аппроксимации профиля приведен на рис. 3. Крестиками отмечены узлы сплайна.

Таблица P задает набор цилиндрических сечений лопасти колеса. От того, насколько они хорошо увязаны в пространстве, зависит и качество получаемой поверхности. Поэтому значения параметров, представленные в таблице, предварительно сглаживаются по методу наименьших квадратов.

Цилиндрическое сечение лопасти получается в результате выполнения над теоретическим профилем следующих последовательных преобразований:

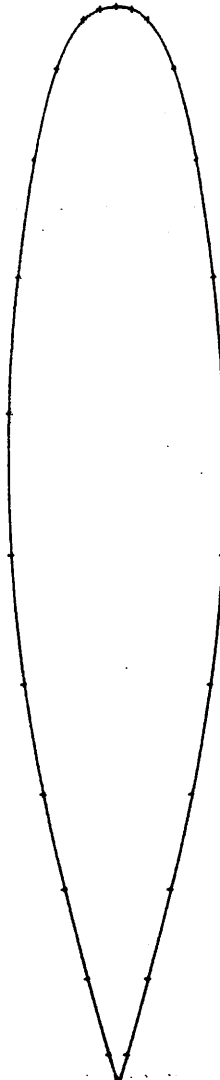
1. Преобразование "растяжения-скатия" по осям x, y с тем, чтобы получить профиль необходимого размера: $x_1 = \alpha x, y_1 = b y$, где $\alpha = R^* \arcsin(l/2R^*)$, $b = d_{\max}/y_{\max}$. y_{\max} — максимальная толщина теоретического профиля.

2. Преобразование деформации, переводящее среднюю линию профиля из отрезка прямой в дугу окружности радиуса R^* :

$$x_2 = 0,5\alpha - A + (R^* - y_1) \sin(x_1/R^*),$$

$$y_2 = \sqrt{R^{*2} - (0,5l)^2} - (R^* - y_1) \cos(x_1/R^*).$$

Рис. 3



3. Преобразование, устанавливающее деформированный профиль относительно осей лопасти в заданное положение:

$$x_3 = x_2 \cos \beta - y_2 \sin \beta - (2 - \cos \beta) A,$$

$$y_3 = x_2 \sin \beta + y_2 \cos \beta + l \cos(0,5\beta) - A \sin \beta.$$

4. Вписывание выходной окружности радиуса $R_{вых}$. Процедура вписывания показана на рис. 4 и выполняется так, что размеры лопасти в плане не изменяются. При этом некоторой деформации подвер-

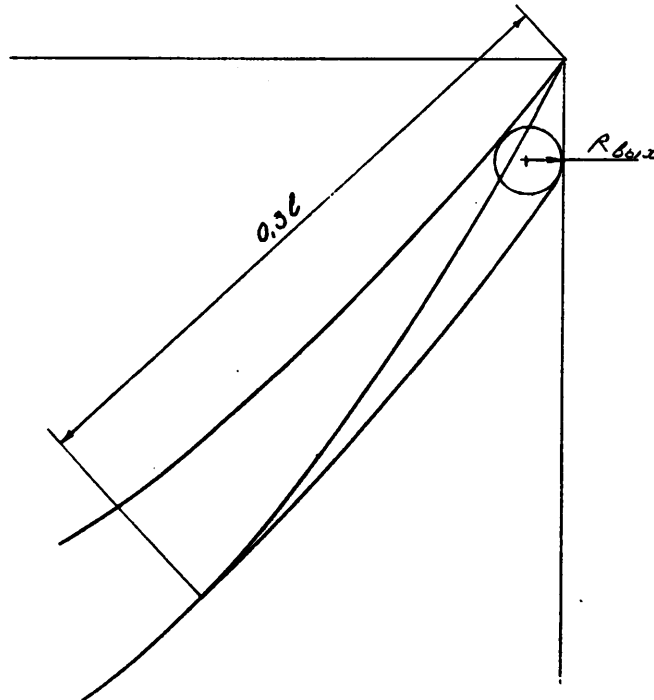


Рис. 4

гается развертка сечения по стороне всасывания на расстоянии $0,3l$ от выходной кромки.

5. Преобразование полученной развертки в цилиндрическое сечение лопасти: $x = R \cos(x_3/R)$, $y = R \sin(x_3/R)$, $z = y_3$.

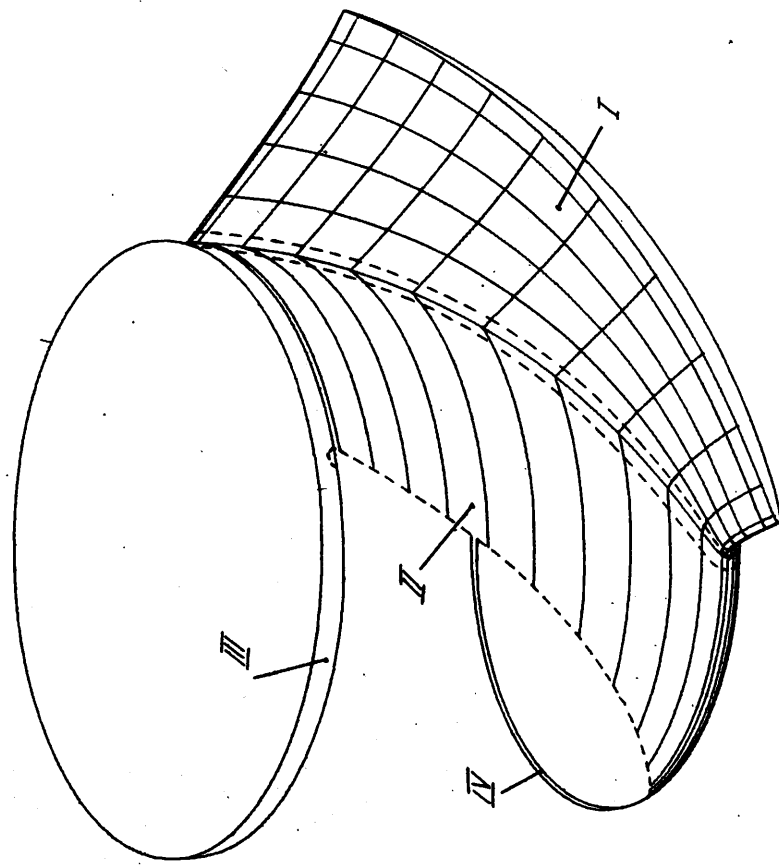


Рис.5. Области обработки на поверхности колеса.

Рассчитанный таким образом набор цилиндрических сечений лопасти принимается в качестве одного из семейств каркасных линий. Линия второго семейства с номером i , $i=1, N$, получается путем кубической сплайн-интерполяции по точкам, цилиндрических сечений, соответствующих i -му узлу сетки Δ , $\{\bar{z}_j(t_i)\}, j=1, M$. Применяемый здесь метод кубической сплайн-интерполяции описан в [4].

Каркасы поверхностей элементов колеса сохраняются в банке данных системы и используются при проведении дальнейших расчетов.

2. Расчет управляющей информации

Поскольку колесо обладает осевой симметрией L -го порядка (L - число лопастей), достаточно рассчитать управляющие программы для обработки следующих областей его поверхности (рис. 5):

- поверхности лопасти (I);
- части поверхности ступицы (II), заключенной между двумя соседними лопастями колеса;
- части поверхности ступицы (III), примыкающей к выходным кромкам лопасти;
- части поверхности ступицы (IV), примыкающей к входным кромкам лопасти.

В дальнейшем будем называть их областями обработки.

Предварительно для каждой из этих областей рассчитываются границы и каркас так, чтобы одно из семейств его линий совпадало со строками обработки. Это позволяет вести обработку вдоль параметрических линий сплайна, определенного на этом каркасе, что существенно упрощает расчет траектории инструмента.

В качестве границ областей обработки I и II принимается след точки касания шара заданного размера, когда он катится одновременно по обеим поверхностям. На рис. 5 эти линии обозначены пунктиром. Этим обеспечивается воспроизведение поверхности галтельного перехода, гладко спрягаящей поверхности лопасти и ступицы, без предварительного ее описания.

Для обработки поверхности лопасти предусмотрены две схемы: "винт" и "винт-М" (рис. 6, "а", "б", соответственно). В обеих схемах обработка ведется строками вдоль цилиндрических сечений лопасти. Переход от строки к строке осуществляется вне заготовки. Поверхность выходной кромки не обрабатывается. В схеме "винт-М", как видно из рис. 6, не обрабатывается и поверхность входной кромки.

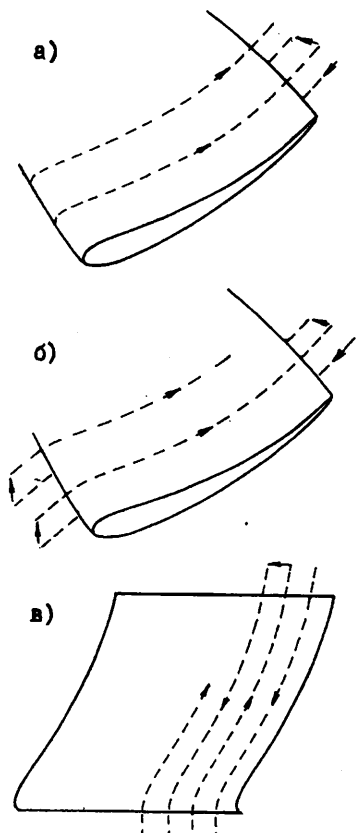


Рис. 6

тории должно выполняться соотношение $\vec{\tau} \cdot \vec{q} = 0$, т.е. угол между этими векторами должен быть меньше $\pi/2$, что исключает возможность движения фрезы в направлении вектора $-\vec{q}$.

Пусть \vec{n} - единичный вектор внешней нормали к обрабатываемой поверхности в точке $\vec{\tau}$, $\vec{p} = [\vec{\tau}, \vec{n}]$, тогда вектор \vec{q} определяется формулой

$$\vec{q} = \vec{p} \cos \alpha + \vec{n} \sin \alpha, \quad (I)$$

где α есть угол наклона вектора \vec{q} к касательной плоскости, который рассчитывается с учетом условия "а". Очевидно, что условие "в" выполняется автоматически.

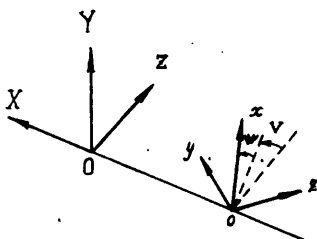


Рис. 7

Добавив к (I) формулу вычисления координат концевой точки фрезы $\bar{F} = \bar{z} + D\bar{n} - R_f \bar{q}$, где $D = R_f + \delta$, R_f — радиус шаровой части фрезы, δ — припуск на последующую обработку, получаем уравнение траектории инструмента в координатах колеса.

Для того чтобы обеспечить перемещение фрезы относительно детали по рассчитанной траектории, станок, используемый для обработки колес, должен иметь не менее пяти программируемых координат. Три из них — X, Y, Z — линейные, а две другие — V, W — угловые. Ось вращения одной из угловых координат должна совпадать с осью вращения колеса.

Связь координат колеса с координатами станка, который был принят за основу при расчете управляющей информации, показана на рис. 7. Если $\bar{F} = (F_x, F_y, F_z)$ и $\bar{q} = (q_x, q_y, q_z)$ — параметры, определяющие положение фрезы относительно детали, то значения координат станка, соответствующие этому положению фрезы, подсчитываются по формулам:

$$\begin{aligned}\sin V &= -q_z, & \sin W &= q_y / \cos V, \\ \cos V &= \sqrt{q_x^2 + q_y^2}, & \cos W &= q_x / \cos V,\end{aligned}$$

$$\bar{Q} = (X, Y, Z) = M \cdot \bar{F} - \bar{D},$$

где

$$M = \begin{pmatrix} -\cos W \cdot \sin V & -\sin W \cdot \sin V & -\cos V \\ \sin W & \cos W & 0 \\ q_x & q_y & q_z \end{pmatrix},$$

$$\bar{D} = (-h, 0, 0).$$

Для реализации изложенной методики в рамках автоматизированной системы, о которой было сказано выше, потребовалось дополнительно создать и включить в состав программного обеспечения системы девять программ. Четыре из них выполняют расчет математической модели колеса и областей обработки. Остальные пять — реализуют технологические операторы языка системы и предназначены для расчета

управляющих программ, соответствующих следующим технологическим переходам обработки колеса на станке с ЧПУ:

- подрезка кромок;
- черновая и чистовая обработка лопасти;
- черновая и чистовая обработка части II на ступице;
- обработка поясков ступицы (части III и IV).

Для проведения всех расчетов достаточно задать: теоретический профиль, таблицу параметров цилиндрических сечений лопасти, образующую поверхности ступицы и технологические параметры процесса обработки.

Все расчеты можно выполнить в несколько этапов. При этом программные средства управления данными системы обеспечивают надежное хранение промежуточных результатов и передачу данных соответствующим программам.

Дополнительно реализована возможность рассчитывать необходимую информацию для изготовления рабочего чертежа колеса, используя его математическую модель.

Л и т е р а т у р а

1. ВАЙСБЕРГ Г.В., КОВАЛЕВА Л.Г., ПАВЛОВ Н.Н., СКОРОСПЕНОВ В.А., ТУРУК П.А. Автоматизированная система проектирования и технологической подготовки производства. - В кн.: Методы сплайн-функций. (Вычислительные системы, вып. 68.) Новосибирск, 1976, с. 100-116.
2. ПАВЛОВ Н.Н., СКОРОСПЕНОВ В.А. Аппроксимация поверхностей лопасти гидротурбин. - В кн.: Методы сплайн-функций. (Вычислительные системы, вып. 72.) Новосибирск, 1977, с. 56-64.
3. ПАВЛОВ Н.Н. К вопросу об аппроксимации пространственных кривых кубическими параметрическими сплайнами. - В кн.: Методы сплайн-функций (Вычислительные системы, вып. 75.) Новосибирск, 1978, с. 45-49.
4. СКОРОСПЕНОВ В.А. Кубическая сплайн-интерполяция как средство приближения пространственных кривых. - В кн.: Методы сплайн-функций (Вычислительные системы, вып. 75.) Новосибирск, 1978, с. 36-44.
5. ДЕУС В.А. Каркасы на гладких поверхностях. - В кн.: Методы сплайн-функций (Вычислительные системы, вып. 66.) Новосибирск, 1976, с. 67-73.

Поступила в ред.-изд. отд.
21 ноября 1979 года